

## بررسی همبستگی شاخص‌های پوشش گیاهی در تحلیل خشکسالی با استفاده از تصاویر مودیس (مطالعه موردی: استان‌های قم، اصفهان، چهارمحال و بختیاری و مرکزی)

صالح آرخی<sup>۱\*</sup>، مرضیه برزگر سواسری<sup>۲</sup>، ندا سوری‌زاده<sup>۳</sup>، بنیامین عشقی<sup>۴</sup>

تاریخ پذیرش: ۱۴۰۳/۰۶/۱۸

تاریخ دریافت: ۱۴۰۲/۱۲/۲۰

### چکیده

خشکسالی یکی از بلاایای طبیعی است که ممکن است در هر اقلیمی رخ دهد. در دهه‌های اخیر، کشور ایران به‌طور پیاپی تحت تأثیر خشکسالی‌های شدید و گسترده قرار داشته و آثار زیانباری بر بخش‌های مختلف اقتصادی از جمله بخش کشاورزی، محیط‌زیست و منابع آب کشور تحمیل کرده است. امروزه برای شناسایی و تحلیل خشکسالی‌های هواشناسی از شاخص‌های پوشش گیاهی که به کمک فناوری سنجش از دور به دست می‌آیند، استفاده می‌شود. هدف پژوهش حاضر بررسی میزان همبستگی بین شاخص SPI و شاخص تفاضل پوشش گیاهی نرمال‌شده (NDVI) و پوشش گیاهی بهبودیافته (EVI) حاصل تصاویر مودیس طی سال‌های ۲۰۱۱ تا ۲۰۲۰ به‌منظور پایش خشکسالی در مناطق مرکزی ایران است. در این راستا، با بهره‌گیری از تصاویر ماهواره مودیس سنجنده ترا و داده‌های بارش ایستگاه‌های سینوپتیک واقع در منطقه مورد مطالعه، آشکارسازی تغییرات رخداده در بازه زمانی ۱۰ ساله محاسبه شد. بدین منظور ابتدا با بررسی داده‌های ایستگاه‌های موجود و با استفاده از مدل شاخص بارش استانداردشده (SPI) چهار ماه (فروردين، اردیبهشت، خرداد و تیر) به‌عنوان نمونه انتخاب شد. در این مطالعه با توجه به دقت زمانی، پوشش طیفی بالا، سهولت دسترسی، عدم نیاز به تصحیح اتمسفری و زمین مرجع نمودن، تصاویر با کد MOD13A2 از محصولات ماهواره مودیس سنجنده ترا مربوط به سال‌های ۲۰۱۱ تا ۲۰۲۰ به‌دلیل اطمینان از وجود پدیده تراسالی و خشکسالی استفاده شد و سپس شاخص SPI با شاخص‌های NDVI و EVI مورد مقایسه قرار گرفت. برای تعیین میزان همبستگی بین شاخص خشکسالی هواشناسی SPI و شاخص‌های سنجش از دور، از ضریب همبستگی پیرسون استفاده شد. نتایج نشان داد که میزان همبستگی بین شاخص خشکسالی SPI با NDVI و EVI به ترتیب برابر با ۰/۸۳۲ و ۰/۱۴۹ است. به‌طرکلی، نتایج این تحقیق نشان داد که در مناطقی با داده‌های باران‌سنجدی ناکافی و پراکنش نامناسب برای پایش خشکسالی می‌توان از داده‌های سنجش از دور و همچنین شاخص پوشش گیاهی NDVI برای پایش تغییرات پوشش گیاهی استفاده کرد. نتایج پایش خشکسالی نشان داد که طی این دوره ده‌ساله در برخی از سال‌ها خشکسالی شدید وجود داشته است. برای مثال در سال ۲۰۲۰ این خشکسالی بسیار شدید بوده است و در سال ۲۰۱۱ تراسالی بسیار شدیدی را نشان داد. نتایج حاصل از همبستگی بین شاخص SPI و شاخص‌های سنجش از دوری نشان داد که شاخص SPI بالاترین همبستگی را با شاخص NDVI در سطح ۰/۰ دارد که مشخص شد تصاویر MODIS و شاخص ساخته شده دارای قابلیت لازم برای پایش خشکسالی است. نتایج این تحقیق می‌تواند گزینه مناسبی برای تصمیم‌گیران به‌منظور نظارت، بررسی و حل وفصل وضعیت خشکسالی مؤثر باشد.

**کلیدواژه‌ها:** خشکسالی، شاخص SPI، شاخص‌های پوشش گیاهی، EVI، NDVI، مناطق مرکزی ایران.

۱. دانشیار، گروه جغرافیا، دانشکده علوم انسانی، دانشگاه گلستان، گرگان، ایران؛ S.arezki@gu.ac.ir

۲. دانشجوی کارشناسی ارشد مخاطرات محیطی، گروه جغرافیا، دانشکده علوم انسانی، دانشگاه گلستان، گرگان، ایران.

۳. دانشجوی کارشناسی ارشد مخاطرات محیطی، گروه جغرافیا، دانشکده علوم انسانی، دانشگاه گلستان، گرگان، ایران.

۴. دانشجوی کارشناسی ارشد سیستم اطلاعات جغرافیایی، گروه نقشه‌برداری، مؤسسه غیرانتفاعی لامعی گرگانی، گرگان، ایران،

\* این مقاله برگفته از پژوهش آزاد است.

## مقدمه

هواشناسی به علت دسترسی محدود به محل اندازه‌گیری و در مواردی به دلیل ناقص بودن اطلاعات آن، برای ارزیابی به ویژه در مناطق بزرگ چندان مناسب نیست. بنابراین، استفاده از روش‌های سنجش از دور، تصاویر ماهواره‌ای، تعریف شاخص‌های مرتبط با سنجش از دور به دلیل ارزان و قابل تکرار بودن، به روز بودن و در برگرفتن سطح وسیعی از منطقه مطالعاتی می‌تواند ضمن پوشش کاستی‌های مرتبط با داده‌های هواشناسی ایستگاهی، ارتباط میان خشکسالی هواشناسی و شاخص‌های پوشش گیاهی را برقرار سازد (رستمی و همکاران، ۲۰۱۶). ازانجاكه امروزه سنجنده‌های متعددی در مطالعات پایش خشکسالی به کار می‌روند، در مطالعه حاضر از اطلاعات سنجنده MODIS<sup>۷</sup> استفاده شد؛ زیرا در مقایسه با سنجنده‌های دیگر، سنجنده مودیس با داشتن باندهای مختلف و طیف الکترومغناطیسی بالقوه برای نظارت بر خشکسالی مناسب‌تر است (سکاتو<sup>۸</sup> و همکاران، ۲۰۰۱). مودیس (اسپکترورادیومتر تصویربردار با قدرت تفکیک متوسط)، سنجنده‌ای است که بر روی ماهواره ترا (EOS-AM) قرار داده شده است. سنجنده مودیس ماهواره‌ترا، هر دو روز یک بار از تمام سطح زمین تصویربرداری می‌کند و داده‌های در ۳۶ باند طیفی اخذ می‌کند. سنجنده مودیس دارای حساسیت رادیومتریکی بالا (۱۲ بیت) و در ۳۶ باند طیفی است و دامنه طیفی آن از طول موج‌های ۰/۴ تا ۱۴/۴ میکرومتر است که این امر می‌تواند نیازهای کاربران مختلف را برطرف سازد. این سنجنده در ۲ باند طیفی تصاویری با قدرت تفکیک اسمی ۲۵۰ متر، در ۴ باند طیفی تصاویری با قدرت تفکیک اسمی ۵۰۰ متر و در ۳۰ باند دیگر نیز تصاویری با قدرت تفکیک اسمی ۱۰۰۰ متر برداشت می‌کند.

دامنه وسیعی از شاخص‌های مبتنی بر داده‌های مودیس برای نظارت بر خشکسالی در مناطق خشک و نیمه‌خشک تاکنون ارائه شده است. در همین خصوص، تحقیقات متعددی در سطح جهان و ایران صورت پذیرفته است که در بیشتر آن‌ها با به کارگیری داده‌ها و روش‌های سنجش از دور، اقدام به پنهان‌بندی شدت و وسعت خشکسالی شده است. چوپرا<sup>۹</sup>

یکی از تفاوت‌های عمده خشکسالی با دیگر بلایابی طبیعی در این است که این مصیبت به نسبت سایرین که به صورت ناگهانی اتفاق می‌افتد، در زمان طولانی‌تر و به تدریج رخ می‌دهد. به همین علت است که این بلا را بلایی خزنده دانسته‌اند (کوگن،<sup>۱</sup> ۲۰۰۰). خطرهای ناشی از خشکسالی خیلی بیشتر از خشکی است. به دلیل موقعیت جغرافیایی و شرایط اقلیمی، در بسیاری از نقاط ایران، خشکسالی یک تهدید حتمی و اجتناب‌ناپذیر است. کمبود بارش در یک منطقه برای دوره‌های زمانی طولانی مدت به عنوان خشکسالی شناخته می‌شود. این کمبود آب در چرخه هیدرولوژیکی منتشر می‌شود و انواع مختلف خشکسالی را ایجاد می‌کند (فیوریلو و گوادانیو،<sup>۲</sup> ۲۰۱۰). بروز خشکسالی و کاهش بارش بر منابع آب و کشاورزی در هر منطقه تأثیرگذار است (خوش‌اخلاق و همکاران، ۲۰۱۰). تغییرپذیری منابع آب زیرزمینی از تغییرات اقلیمی ناشی از فرایندهای هیدرولوژیکی مانند بارش، تبخیر و تعرق و تعامل با آب سطحی انجام می‌گیرد (چن<sup>۳</sup> و همکاران، ۲۰۰۴). خشکسالی وضعیت دائمی یک اقلیم نیست و در تمامی اقلیم‌ها چه اقلیم مرطوب و چه در اقلیم خشک رخ می‌دهد (دراکاپ<sup>۴</sup> و همکاران، ۱۹۸۰). غالباً خشکسالی‌ها از خشکسالی هواشناسی شروع شده و به ترتیب به خشکسالی هیدرولوژیکی، کشاورزی و سرانجام اجتماعی اقتصادی تبدیل می‌شود (علیزاده، ۲۰۱۴). برای برآورد خشکسالی یک منطقه روش‌های متفاوتی وجود دارد که این روش‌ها نیاز به داشتن داده‌های قابل اطمینان از گذشته دارند، ولی به دلیل فقدان داده‌ها و عدم دقیقت در برداشت‌ها آن‌ها، امر محاسبه خشکسالی را با مشکلاتی همچون عدم دقیقت در زمان و شدت وقوع خشکسالی و درک درست خسارت ناشی از خشکسالی مواجه ساخته است. تجزیه و تحلیل شاخص بارش استاندارد (SPI)<sup>۵</sup> یکی از روش‌های پرکاربرد برای شناسایی خشکسالی در سراسر جهان است (طبری و همکاران، ۲۰۱۲؛ داتا<sup>۶</sup> و همکاران، ۲۰۱۵). داده‌های

1. Kogan

2. Fiorillo & Guadagno

3. Chen

4. Dracup

5. Standardized Precipitation Index

6. Dutta

7. Moderate Resolution Imaging Spectroradiometer

8. Ceccato

9. Chopra

مقیاس فصلی (جولای-اکتبر) نقشه‌برداری شد. یافته‌های این پژوهش نشان داد وضعیت خشکی در سراسر سودان در مقیاس‌های زمانی و مکانی مختلف متغیر است. نتایج<sup>۷</sup> DSIndex نشان داد بیشتر مناطق سودان از سال ۲۰۰۸ تا ۲۰۱۱ متأثر از خشکسالی بوده است. یلدیریم و آسیک<sup>۸</sup> (۲۰۱۸) خشکسالی کشاورزی در دشت کاواکدره ترکیه را به وسیله شاخص‌های NDVI و SAVI و دمای سطح ارزیابی کردند. نتایج نشان داد که هر دو شاخص مذکور با دمای سطح طی فصل آبیاری، جایی که درجه حرارت افزایش یافته و بارندگی کاهش یافته، به‌طور مؤثّری رطوبت قابل دسترس را کاهش داده است، همبستگی منفی دارند. در بخش مطالعات داخلی نیز پژوهش‌هایی انجام پذیرفته است که در ذیل به آن‌ها پرداخته می‌شود. چنان<sup>۹</sup> (۲۰۰۱) در مطالعات خود، خشکسالی را در استان‌های آذربایجان شرقی، غربی و اردبیل طی سال‌های ۱۹۹۸ تا ۲۰۰۰ با استفاده از تصاویر NOAA/AVHRR ارزیابی کرد. در این مطالعه، نتایج محاسبه شاخص NDVI در مورد تغییرات تراکم پوشش گیاهی، ارزیابی زمینی خسارت خشکسالی را در استان آذربایجان شرقی تأیید کرده و نتایج به‌ذست‌آمده به استان‌های آذربایجان غربی و اردبیل نیز تعمیم داده شد. همچنین در این تحقیق اثبات شد که بارندگی‌های فصلی به‌ویژه زمستانی که به صورت برف هستند، نقش زیادی در بروز یا عدم بروز خشکسالی دارند. محمدزاده و همکاران (۲۰۰۸) از دو شاخص SPI و NDVI طی سال‌های ۱۹۹۸ تا ۲۰۰۳ برای بررسی خشکسالی در منطقه فریدون‌شهر استفاده کرده و درنهایت این دو شاخص را باهم مقایسه نمودند. نتایج این مطالعه نشان داد که بین تصاویر NDVI ماههای آوریل و می و SPI دسامبر و ژانویه همبستگی معناداری وجود دارد. حمزی و همکاران (۲۰۱۷) در پژوهشی با عنوان «پایش زمانی و مکانی خشکسالی کشاورزی با استفاده از داده‌های سنجنده» از دور استان مرکزی، با استفاده از داده‌های ماهواره‌ای سنجنده مودیس به بررسی الگوهای خشکسالی پرداخته است. نتایج حاصل از شاخص VCI گیاهی در مقیاس فصلی با شرایط اقلیمی محدوده تطابق

(۲۰۰۶) در ایالت گجرات هندوستان با استفاده از تصاویر سنجنده‌های NOAA و AVHRR اقدام به محاسبه شاخص<sup>۱</sup> NDVI نموده و این شاخص را با شاخص SPI مقایسه کرده و در این مقایسه شاهد ارتباط نزدیک این دو شاخص در حالت SPI سه‌ماهه بوده است (چوپرا، ۲۰۰۶). کوگن و همکاران (۲۰۰۰) ایالات متحده آمریکا را با استفاده از تصاویر سنجنده‌های NOAA و MODIS و با استفاده از شاخص‌های VCI و TCI در سال ۱۹۸۸ مورد مطالعه قرار دادند و در کار صورت گرفته متوجه شدند که شاخص VCI نسبت به شاخص TCI وضعیت خشکسالی را بهتر نشان می‌دهد (کوگن، ۲۰۰۰). روزویتیارتی<sup>۲</sup> و همکاران (۲۰۱۰) به برآورد خشکسالی در جزیره جاوا اندونزی پرداختند. آنها برای این کار از تصاویر LST MODIS برای شاخص<sup>۳</sup> EVI و دمای سطح زمین (LST) استفاده کردند. شاخص VHI با استفاده از VCI و TCI به دست آمده است و در آخر با استفاده از نقشه VHI سلامت پوشش گیاهی در جزیره جاوا به دست آمده است. زامبرانو<sup>۴</sup> و همکاران (۲۰۱۶) در منطقه بیویو شیلی به‌منظور بررسی خشکسالی کشاورزی، شاخص‌های VCI و SPI در مقیاس زمانی یک تا شش ماه طی سال‌های ۲۰۰۰ تا ۲۰۱۵ را در ۱۸ ایستگاه بررسی کردند. نتایج نشان داد SPI سه‌ماهه بیشترین همبستگی (r=۰/۷۷) را با شاخص VCI دارد. پی‌ای‌پی<sup>۵</sup> و همکاران (۲۰۱۸) مطالعه‌ای در کشور چین با هدف پایش پویایی گیاه با استفاده از شاخص‌های TCI، VCI و VHI برای دوره آماری ۱۹۸۲ تا ۲۰۱۳ انجام دادند و درنهایت ذکر کردند که رابطه بین TCI و VCI در نواحی مختلف متفاوت است. الهاگ و ژانگ<sup>۶</sup> (۲۰۱۸) مطالعه‌ای را با هدف بررسی و تحلیل ویژگی‌های خشکسالی بر پایه دو شاخص خشکسالی هواشناسی SPI و شاخص شدت خشکسالی DSI و تأثیر خشکسالی بر بهره‌وری ذرت خوش‌های در سودان از سال ۲۰۰۱ تا ۲۰۱۱ انجام دادند. برای شناسایی مناطق خشک و مرطوب، از داده‌های بارش ماهواره TRMM از سال‌های ۲۰۰۱ تا ۲۰۱۱ استفاده و در

1. Normalized difference Vegetation Index

2. Roswintiarti

3. Enhanced Vegetation Index

4. Zambrano

5. Pei

6. Elhag & Zhang

7. Drought Severity Index

8. Yildirim & Asik

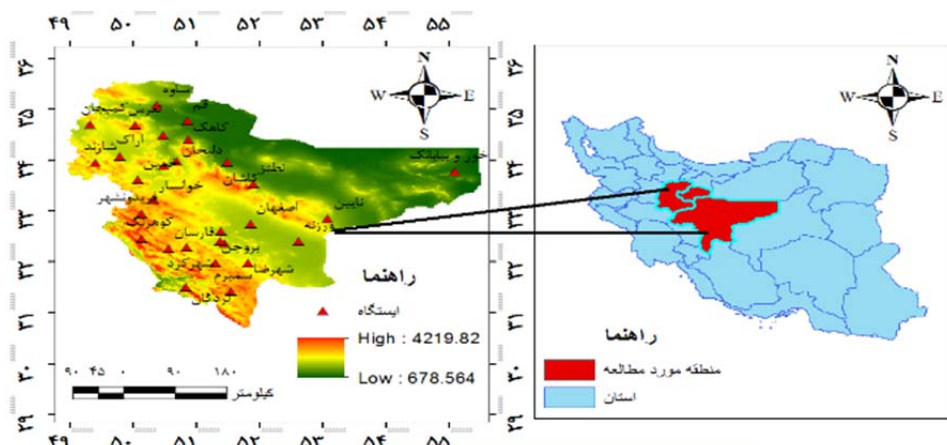
9. Chanar

## مواد و روش‌ها

### منطقه مورد مطالعه

کشور ایران به دلیل قرار گرفتن روی کمرنگ خشک جغرافیایی و نوار بیابانی ۲۵ تا ۴۰ درجه عرض شمالی، جزء مناطق کمباران جهان به شمار می‌آید. استان‌های قم، اصفهان، چهارمحال و بختیاری و مرکزی نیز از جمله استان‌هایی هستند که درباره وضعیت خشکسالی آن‌ها در چند سال اخیر، مدام هشدار داده شده است. مطالعه خشکسالی در این چهار استان، به دلیل حساسیت این استان‌ها و همچنین جمعیت بسیار زیادی که در خود جای داده است، اهمیت ویژه‌ای دارد. به همین دلیل، استان‌های فوق در این پژوهش انتخاب شدند. استان‌های فوق در مرکز ایران در محدوده طول جغرافیایی ۴۹ درجه تا ۵۵ درجه و عرض جغرافیایی ۳۱ درجه تا ۳۵ درجه واقع شده‌اند. مساحت منطقه مورد مطالعه ۱۶۳۹۷۷ کیلومتر مربع است. میانگین بارش سالانه منطقه مورد مطالعه بین ۱۴۰ تا ۶۰۰ میلی‌متر در تغییر است و از لحاظ اقلیمی جزء مناطق خشک و نیمه‌خشک کشور محسوب می‌شود. از جنوب به شمال این منطقه، به دلیل شرایط توپوگرافی و طبیعی متفاوت، اقلیم متنوعی دیده می‌شود. قسمت‌های جنوبی بیشتر زمستان‌های سرد و تابستان‌های معتمد و قسمت‌های شمالی زمستان‌های سرد و تابستان‌های گرم دارد (خدابنده و همکاران، ۲۰۱۶). در شکل (۱)، موقعیت منطقه در کشور همراه با ایستگاه‌های سینوپتیک و کلیماتولوژی نشان داده شده است.

بیشتری دارد؛ به گونه‌ای که این شاخص بهترین شاخص برای پایش خشکسالی انتخاب شد. سلطانی و همکاران (۲۰۱۹) در پژوهشی با عنوان «پایش خشکسالی منطقه‌ای با استفاده از تصاویر لنست» به پایش خشکسالی و سلامت پوشش گیاهی در منطقه کرانشاه پرداخته‌اند. نتایج پژوهش نشان‌دهنده این موضوع است که تصاویر لنست و شاخص‌های ساخته‌شده دارای قابلیت لازم و کافی برای پایش خشکسالی است. محاسبه شاخص‌های پوشش گیاهی، روش مناسب برای اندازه‌گیری تراکم، کیفیت، میزان رشد، پراکنش و شناسایی امراض و بیماری‌های گیاهی و همچنین محاسبه خشکسالی است. جمع‌آوری این شاخص‌ها به‌وسیله روش‌های معمولی بسیار مشکل و پرهزینه است. با این حال استفاده از داده‌های ماهواره‌ای امکان مطالعه گسترده و دقیق‌تر پوشش گیاهی را فراهم کرده است (علوی‌پناه، ۲۰۱۰). از طریق دریافت اطلاعات با قدرت تفکیک مکانی و زمانی در سطح وسیعی از زمین و به صورت دریافت نزدیک به زمان واقعی، امکان پایش روند خشکسالی‌ها با استفاده از تکنولوژی سنجش از دور براساس بازتابندگی طیفی در باندهای مختلف و امکان محاسبه در هر پیکسل فراهم آمده است (یارمحمدی، ۲۰۰۵). هدف پژوهش حاضر بررسی میزان همبستگی بین شاخص SPI و شاخص‌های NDVI و EVI حاصل از تصاویر مودیس در طی سال‌های ۲۰۱۱ تا ۲۰۲۰ به‌منظور پایش خشکسالی در مناطق مرکزی ایران است.



شکل (۱): موقعیت جغرافیایی و ایستگاه‌های محدوده مورد مطالعه

Figure (1): Geographical location and stations of the studied area

## داده‌های ماهواره‌ای

داده‌های دورسنجی مورد استفاده شامل داده‌های سنجنده مودیس از سری تصاویر ماهواره ترا می‌باشد. بدین منظور از محصول شانزده روزه شاخص گیاهی تفاضلی نرمال شده (NDVI) و شاخص پوشش گیاهی بارزسازی شده (EVI) در قالب فایل MOD13A2 با فرمت hdf و قدرت تفکیک مکانی ۲۵۰ متر استفاده شد. از این محصول، تعداد ۸۰ تصویر MOD13A2 از سال ۲۰۱۱ تا ۲۰۲۰ برای تمامی ماه‌های (فروردین، اردیبهشت، خرداد و تیرماه) تهیه شد.

## روش تحقیق

تصاویر مودیس پس از دریافت توسط اطلاعات موجود در شناسه تصویر و ابزار Modtool اضافه شده در نرم‌افزار<sup>۱</sup> ENVI5.3. فرآخوانی و سیستم مختصات آن‌ها به سیستم مختصات جغرافیایی تبدیل شد و سپس با فرمت tif ذخیره گردید. لازم به یادآوری است از آنجاکه تصاویر ماهواره‌ای مودیس دارای سیستم سینوپتیک داشند یا سینوسی<sup>۲</sup> هستند، سیستم مختصات آن‌ها به جغرافیایی تغییر داده شد تا همخوانی لازم با نقشه توپوگرافی وجود داشته باشد. سپس با استفاده از نقشه توپوگرافی ۱:۲۵۰۰۰۰ وجود داشته باشد. این مطالعه با توجه به دقت زمانی، محدوده ۴ استان از کل تصویر جدا و سپس اقدام به محاسبه شاخص‌ها شد. در تحقیق حاضر، با توجه به ماهیت مسئله و موضوع مورد بررسی، از نوع مطالعات کاربردی با تأکید بر روش‌های کمی است. در این مطالعه با توجه به دقت زمانی، پوشش طیفی بالا، سهولت دسترسی، عدم نیاز به تصحیح اتمسفری و زمین مرجع نمودن تصویر از محصولات ماهواره مودیس سنجنده ترا مربوط به سال‌های ۲۰۱۱ تا ۲۰۲۰ به دلیل اطمینان از وجود پدیده ترسالی و خشکسالی استفاده شد. اطلاعات سنجش از دور مورد استفاده در این پژوهش، شامل محصول آماده MOD13A2 است که مربوط به سری‌های زمانی شاخص NDVI و EVI است که مستقیماً از تارنمای Earth Data دریافت شده و نیاز به تصحیح هندسی، رادیومتریک و اتمسفری ندارد (فن‌شولت<sup>۳</sup> و همکاران، ۲۰۱۲). در مرحله بعد با بررسی

## مواد استفاده شده

### داده‌های زمینی

در این پژوهش، از آمار بارندگی ۲۹ ایستگاه هواشناسی واقع در استان‌های اصفهان، قم، چهارمحال و بختیاری و مرکزی استفاده شد. ایستگاه‌ها بر مبنای طول دوره آماری، پوشش مناسب مکانی (شکل ۱؛ جدول ۱) در منطقه مورد مطالعه و قابل اعتماد بودن داده‌های آماری آن‌ها انتخاب شده‌اند. دوره زمانی مورد مطالعه در این تحقیق از سال ۲۰۱۱ تا ۲۰۲۰ میلادی است. از آنجاکه داده‌های مورد استفاده برای مقایسه از نظر مقیاس زمانی با تصاویر ماهواره‌ای همخوانی داشته باشند و با توجه به اینکه داده‌های ماهواره TERRA به صورت میلادی و همچنین داده‌های ماهانه ایستگاه‌های سینوپتیک نیز به صورت میلادی است. لذا از داده‌های روزانه ایستگاه‌های سینوپتیک برای این تحقیق استفاده شد. داده‌های نهایی براساس مطابقت دقیق با روزهای ماه میلادی، با جمع داده‌های روزانه و تبدیل آن‌ها به داده‌های ماهانه میلادی به دست آمد (تبدیل هجری شمسی به میلادی).

جدول (۱): موقعیت ایستگاه‌های سینوپتیک منطقه مورد مطالعه

Table (1): The location of the synoptic stations of the studied area

شماره ایستگاه	نام ایستگاه	ارتفاع	عرض جغرافیایی	طول جغرافیایی
۱	کاشان	۹۹۵	۳۳/۶۹	۵۱/۴۸
۲	میارک	۱۶۸۰/۲	۳۲/۸۸	۵۱/۴۵
۳	نظرن	۱۶۸۵	۳۳/۳۳	۵۱/۹۰
۴	سمیرم	۲۴۵۹/۹	۳۱/۷۷	۵۱/۵۴
۵	خور و بیانک	۸۴۲/۲	۳۳/۷۷	۵۵/۰۸
۶	نائین	۱۵۷۳/۷	۳۲/۱۶	۵۳/۰۷
۷	فریدون شهر	۲۴۹۰	۳۲/۹۴	۵۰/۱۲
۸	شهرضا	۱۸۵۸	۳۱/۱۶	۵۱/۸۱
۹	نصف آباد	۱۶۴۶/۲	۳۲/۴۴	۵۱/۳۸
۱۰	زرین شهر	۱۷۱۳/۸	۳۲/۳۹	۵۱/۳۷
۱۱	اصفهان	۱۵۵۱/۹	۳۲/۴۱	۵۱/۸۶
۱۲	ورزنه	۱۴۵۰	۳۲/۴۰	۵۲/۶۱
۱۳	خوانسار	۲۳۰۰	۳۳/۲۳	۵۰/۳۱
۱۴	لرگان	۱۶۱۱	۳۱/۵۰	۵۰/۸۳
۱۵	کوهزنگ	۲۳۶۵	۳۲/۴۵	۵۰/۱۲
۱۶	شهرکرد	۲۰۴۸/۹	۳۲/۲۹	۵۰/۸۳
۱۷	فارسان	۲۰۶۲	۳۲/۲۵	۵۰/۰۵
۱۸	سلفچگان	۱۳۸۱/۴	۳۴/۴۸	۵۰/۴۶
۱۹	قم	۸۷۹/۱	۳۴/۷۷	۵۰/۸۵
۲۰	کاهک	۱۴۰۳/۱	۳۴/۴۰	۵۰/۸۶
۲۱	دلیجان	۱۵۴۴/۳	۳۳/۹۷	۵۰/۶۸
۲۲	نفرش	۱۹۷۹/۷	۳۴/۶۸	۵۰/۰۳
۲۳	شازند	۱۹۱۳	۳۳/۹۴	۴۹/۴۰
۲۴	خمین	۱۸۳۴/۶	۳۳/۶۳	۵۰/۰۶
۲۵	محلات	۱۶۲۲	۳۳/۸۸	۵۰/۴۸
۲۶	ساوه	۱۱۱۱/۶	۳۵/۰۸	۵۰/۳۷
۲۷	کمیجان	۱۷۴۱	۳۴/۷۹	۴۹/۳۱
۲۸	بروجن	۶۰۲۲	۳۱/۹۷	۵۱/۲۹
۲۹	اراک	۱۷۰۲	۳۴/۰۷	۴۹/۷۸

1. Environment for Visualizing Images

2. Sinusoidal

3. Fensholt

غیرتصادفی در سری داده‌ها تأیید شود، احتمال وجود روند در این داده‌ها وجود دارد. آماره‌های به دست آمده از این آزمون‌ها مربوط به پارامترهای میانگین بارش در جدول (۲) مشاهده می‌شود. در آزمون‌های همگنی فرض صفر، آزمون مبنی بر همگن بودن داده‌های است. چنانچه آماره آزمون در ناحیه بحرانی قبول فرض صفر قرار گیرد، همگن بودن داده‌ها تأیید می‌گردد؛ در غیر این صورت عدم همگنی سری مورد تأیید است. نتایج حاصل از آزمون‌های بالا در جدول (۲)، برای متغیر میانگین بارش به تفکیک ایستگاه‌های مورد مطالعه آمده است. همان‌طور که در جدول نامبرده آمده، مقدار p-value برای پارامتر میانگین بارش حاصل از آزمون کلموگراف-اسمیرنوف بیشتر از ۰/۰۵ است؛ بنابراین نرمال بودن سری داده‌ها تأیید می‌شود. همچنین از آنجاکه این مقدار برای آزمون همگنی (ران تست) در ناحیه بحرانی قبول فرض صفر (بیشتر از ۰/۰۵) قرار دارد، تصادفی بودن داده‌های بارش برای تمامی ایستگاه‌ها تأیید می‌شود.

داده‌های باران‌سنجدی و سینوپتیک ایستگاه‌های موجود و با استفاده از مدل شاخص بارش استانداردشده (SPI)، چهار ماه (فروردين، اردیبهشت، خرداد و تیر مصادف با دوره رشد پوشش گیاهی و خشکسالی) به عنوان نمونه انتخاب شد. برای پردازش داده‌های اکسلی از نرم‌افزار ArcGIS10.4 و روش‌های زمین‌آماری بهره گرفته شد.

## تحلیل نتایج نرمال بودن داده‌ها و تعیین تصادفی بودن آن‌ها

از آنجاکه پژوهش‌های آماری اقیمت‌شناسی با تأکید بر تحلیل سری‌های زمانی گستته در قلمرو زمان استوار است، نخست غیرتصادفی بودن داده‌ها و نرمال بودن آن‌ها مورد آزمون قرار می‌گیرد. با این هدف، برای تعیین ویژگی نرمال بودن آن، به ترتیب از آزمون‌های همگنی یا ران‌تست و کلموگراف-اسمیرنوف در نرم‌افزار SPSS استفاده شد. در صورتی که

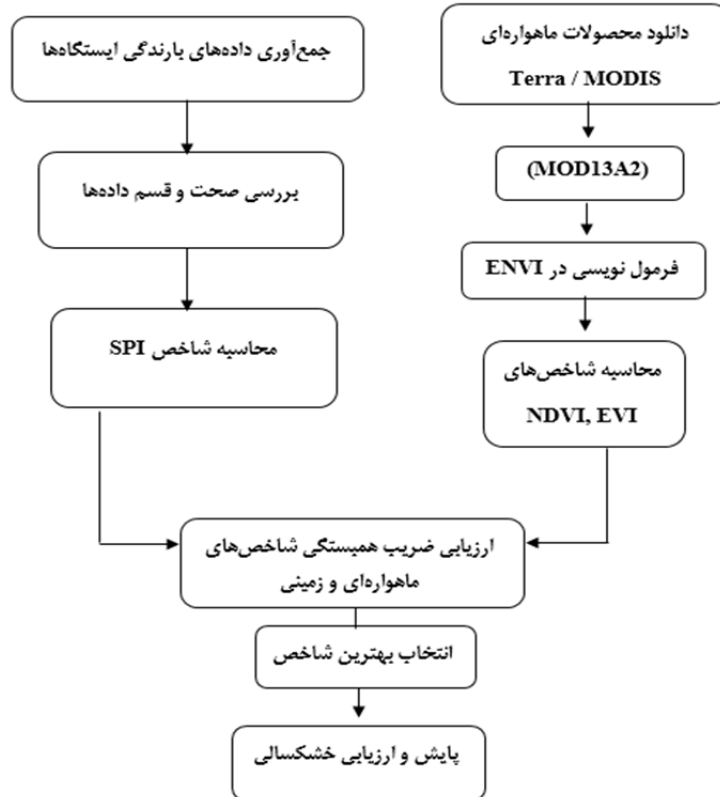
جدول (۲): نتایج آزمون‌های همگنی و نرمال بارش متوسط ایستگاه‌های منتخب

Table (2): The results of tests of homogeneity and normality of average precipitation of selected stations

ردیف	ایستگاه	سری زمانی	آزمون نرمال	آزمون همگنی	ران تست
۱	کاشان	سالانه	۰/۱۹	۰/۸۱۸	۰/۸۱۸
۲	مبارکه	سالانه	۰/۲۰	۰/۸۱۸	۰/۸۱۸
۳	نظرن	سالانه	۰/۱۰	۰/۲۵۱	۰/۲۵۱
۴	سمیرم	سالانه	۰/۳۸	۰/۴۹۱	۰/۴۹۱
۵	خور و بیانک	سالانه	۰/۲۰	۰/۸۱۸	۰/۸۱۸
۶	نایین	سالانه	۰/۷۳	۰/۰۶۹	۰/۰۶۹
۷	فریدونشهر	سالانه	۰/۱۱۵	۰/۴۹۱	۰/۴۹۱
۸	شهرضا	سالانه	۰/۹۸	۰/۴۹۱	۰/۴۹۱
۹	نجف‌آباد	سالانه	۰/۲۰	۰/۴۹۱	۰/۴۹۱
۱۰	زرین شهر	سالانه	۰/۲۰	۰/۴۹۱	۰/۴۹۱
۱۱	اصفهان	سالانه	۰/۲۰	۰/۸۱۸	۰/۸۱۸
۱۲	ورزنه	سالانه	۰/۲۰	۰/۸۱۸	۰/۸۱۸
۱۳	خوانسار	سالانه	۰/۲۰	۰/۸۱۸	۰/۸۱۸
۱۴	لدگان	سالانه	۰/۱۷۳	۰/۰۷۲	۰/۰۷۲
۱۵	کوهرنگ	سالانه	۰/۲۰	۰/۸۱۸	۰/۸۱۸
۱۶	شهرکرد	سالانه	۰/۲۰	۰/۴۹۱	۰/۴۹۱
۱۷	فارسان	سالانه	۰/۱۷	۰/۴۹۱	۰/۴۹۱
۱۸	بروجن	سالانه	۰/۱۹۳	۰/۴۱	۰/۴۱
۱۹	سلفچگان	سالانه	۰/۲۰	۰/۱۰۸	۰/۱۰۸
۲۰	قم	سالانه	۰/۱۸۶	۰/۱۳	۰/۱۳
۲۱	کاهک	سالانه	۰/۲۰	۰/۴۹۱	۰/۴۹۱
۲۲	اراک	سالانه	۰/۱۹۶	۱	۱
۲۳	دلیجان	سالانه	۰/۰۸	۰/۰۸۹	۰/۰۸۹
۲۴	تهرش	سالانه	۰/۲	۰/۰۸۹	۰/۰۸۹
۲۵	شازند	سالانه	۰/۲	۱	۱
۲۶	حمین	سالانه	۰/۰۹	۰/۲۵۱	۰/۲۵۱
۲۷	محلات	سالانه	۰/۲۰	۰/۰۹۲	۰/۰۹۲
۲۸	ساوه	سالانه	۰/۲	۰/۲۵۱	۰/۲۵۱
۲۹	کمیجان	سالانه	۰/۲۸	۰/۲۵۱	۰/۲۵۱

شکل (۲) مراحل روش تحقیق را نشان می‌دهد.

بنابراین با توجه به نرمال بودن داده‌ها، به منظور برآورد همبستگی بین داده‌ها از ضریب همبستگی پیرسون استفاده شد.



شکل (۲): مراحل جریان روش تحقیق  
Figure (2): Flow steps of the research method

$$NDVI = \frac{P_{NIR} - P_{RED}}{P_{NIR} + P_{RED}}$$

که در آن  $P_{Red}$  باند قرمز (باند ۱ مودیس) و  $P_{NIR}$  باند مادون قرمز نزدیک (باند ۲ مودیس) است. چون در این پژوهش از داده MOD13A2 سنجده ترا استفاده شده، این شاخص به صورت آماده در اختیار کاربران قرار داده شده است؛ فقط باید شاخص NDVI را در Scale Factor آن ضرب نمود تا مقادیر NDVI بین منفی ۱ و مثبت ۱ نمایان گردد. کلاس‌های تراکم پوشش گیاهی انتخاب شده در این مطالعه و تعریف آن‌ها به شرح زیر است:

فاقد پوشش گیاهی:  $<0\%$ ؛ پوشش گیاهی ضعیف:  $0\%-20\%$ ؛ پوشش گیاهی متوسط:  $20\%-40\%$ ؛ پوشش گیاهی نیمه‌متراکم:  $>40\%$ ؛ پوشش گیاهی متراکم:  $>60\%$ .

## معرفی مدل‌ها و شاخص‌های سنجش از دور در خشکسالی

### شاخص پوشش گیاهی تفاضل نرمال شده (NDVI)

شاخص گیاهی تفاضل نرمال شده (NDVI) کاربرد گسترده‌ای برای تشخیص مناطق دارای پوشش گیاهی سالم از ناسالم و مناطق عاری از پوشش دارد. این شاخص وضعیت پوشش گیاهی را بر روی سطح زمین در مناطق وسیع نشان می‌دهد. ارزش عددی شاخص NDVI بین ۱- تا ۱ متغیر است. ارزش‌های عددی مثبت مربوط به پوشش گیاهی متراکم و ارزش عددی صفر و مقادیر نزدیک به آن مربوط به مناطق بدلون پوشش گیاهی است و مکان‌های خیس و آب، ارقام نزدیک به ۱- را دارا هستند (هدل، ۲۰۱۲<sup>۱</sup>). این شاخص از طریق معادله زیر محاسبه می‌شود:

در این معادله: R2 بازتاب در محدوده فروسرخ نزدیک، R1 بازتاب در محدوده طول موج قرمز و R3 بازتاب باند آبی است. این شاخص در بازه ۱-۱+ قرار دارد. از مزایای این شاخص این است که از اثرات اتمسفر و پخش ایروسول NDVI می‌کاهد (لی و همکاران، ۲۰۰۹). در واقع EVI یک تغییریافته است (علوی‌پناه، ۲۰۱۴). کلاس‌های تراکم پوشش گیاهی EVI مشابه NDVI است. مشخصات محصولات گیاهی در جدول (۳) قرار داده شده است.

### شاخص پوشش گیاهی بارزسازی شده (EVI)

نمایه EVI، برای بهبود شاخص NDVI به وسیله بهینه‌سازی سیگنال‌های پوشش گیاهی در محدوده شاخص سطح برگ با استفاده از انعکاس باند آبی برای تصحیح کردن سیگنال پس‌زمینه خاک و کاهش اثر جو شامل پراکنش ذرات معلق توسعه یافته است. ترکیب روابط تجربی برای تصحیح اتمسفری منجر به ایجاد نمایه EVI شده است. این شاخص از طریق معادله زیر به دست می‌آید:

$$EVI = 2.5 \left[ \frac{R_2 - R_1}{R_2 + 6R_1 - 7.5R_3 + 1} \right]$$

جدول (۳): مشخصات محصولات EVI و NDVI

Table (3): Specifications of NDVI and EVI products

Scale Factor	Valid Range	NoData Value	Fill Value	Data Type	Units	Description	SDS Name
0.0001	-2000 to 10000	N/A	-3000	16-bit signed integer	NDVI	1 km 16 days NDVI	1 km 16 days NDVI
0.0001	-2000 to 10000	N/A	-3000	16-bit signed integer	EVI	1 km 16 days EVI	1 km 16 days EVI

جدول (۴): طبقه‌بندی شدت خشکسالی براساس شاخص‌های هواشناسی و سنجش از دوری (مک‌کی و همکاران، ۱۹۹۳)

Table (4): Drought severity classification based on meteorological and remote sensing indicators (McKay et al., 1993)

SPI	شدت خشکسالی
<-۲	خشکسالی حاد
۱/۵- تا ۲	خشکسالی شدید
-۱/۵- تا ۱	خشکسالی متوسط
۱- تا ۱/۵	نرمال
۱/۵ تا ۱	ترسالی متوسط
۱/۵ تا ۲	ترسالی شدید
>۲	ترسالی حاد

### بررسی روابط آماری بین خشکسالی هواشناسی و شاخص‌های پوشش گیاهی

برای بررسی میزان ارتباط بین متغیرها، ضرایب همبستگی بین آن‌ها محاسبه می‌شود. براساس نوع مقیاس داده‌ها در این تحقیق از ضرایب همبستگی پیرسون استفاده شد. ضرایب همبستگی پیرسون از ضرایب مهم برای تعیین همبستگی بین دو متغیر با مقیاس‌های فاصله‌ای و نسبتی است که دارای توزیع نرمال نیز باشند. این ضریب با علامت  $r$  نمایش داده می‌شود و بین  $+1$  و

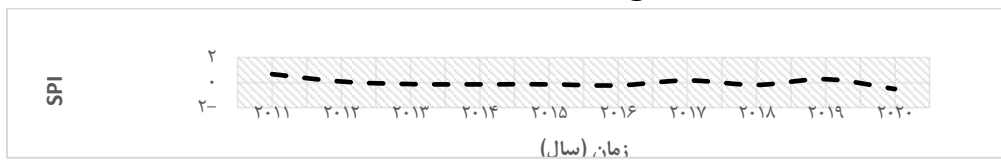
### شاخص بارش استاندارد شده (SPI)

در این پژوهش برای مقایسه و اعتبارسنجی شاخص‌های پوشش گیاهی از شاخص SPI و ضریب همبستگی پیرسون استفاده شد که به خوبی می‌تواند برای کاربردهای مختلف سطح زمین، استفاده شود. محاسبه SPI برای هر مکان، براساس ثبت بارش‌های طولانی مدت در دوره زمانی مورد نظر پایه‌گذاری شده است. این شاخص از طریق معادله زیر قابل محاسبه است.

$$SPI = (P_i - \bar{P})/S$$

که در آن،  $P_i$  مقدار بارش در دوره مورد نظر،  $\bar{P}$  میانگین درازمدت بارش برای دوره مورد نظر و  $S$  انحراف معیار مقدار بارش است. برای محاسبه این نمایه، از توزیع گاما برای برازش داده‌های بارش استفاده می‌شود که پس از انجام محاسبه‌های لازم و تعیین پارامترهای مربوط به نمایه SPI انجام می‌گیرد. در جدول ۴، رتبه‌بندی خشکسالی با شاخص SPI در نرم‌افزار DIP نشان داده شده است.

کل منطقه آورده شده است. روند تغییرات نمایه SPI برای کل منطقه مورد مطالعه در شکل (۳) نشان داده شده است. در ادامه، وضعیت خشکسالی در همه ایستگاه‌های مورد مطالعه با استفاده از نمایه SPI سالانه برای دوره آماری ده‌ساله (۲۰۱۱-۲۰۲۰) بررسی شد. با بررسی تغییرات نمایه‌های خشکسالی در تمامی ایستگاه‌ها طی دوره آماری ده‌ساله، مشخص شد که در اکثر ایستگاه‌های استان‌های مورد مطالعه، سال‌های ۲۰۱۶ و ۲۰۲۰ خشکسالی‌های شدیدی رخ داده است. سپس مقادیر این داده‌ها در دوره زمانی ۲۰۱۱-۲۰۲۰ تفکیک و آزمون مقایسه میانگین برای این دوره انجام شد. نتایج در جدول (۵) ارائه شده است. همان‌طور که در این جدول دیده می‌شود، تفاوتی بین میانگین و واریانس دوره مورد مطالعه وجود نداشته و نمایه‌های خشکسالی از روند خاصی پیروی نمی‌کنند. بنابراین تغییرات در این نمایه‌ها و موقعیت سال‌های ترسالی و خشکسالی را می‌توان مربوط به نوسانات اقلیمی دانست.



شکل (۳): نمودار روند تغییرات نمایه SPI سالانه

Figure (3): Annual SPI index change trend chart

بخش‌های وسیعی از استان‌های اصفهان، چهارمحال بختیاری و مرکزی با شدت‌های بالاتری از خشکسالی در این دوره برخوردار بوده‌اند، سپس در نواحی جنوب شرقی استان قم و بخش‌های شمال شرقی استان مرکزی از شدت خشکسالی آنها نسبت به سایر مناطق کاسته می‌شود (شکل ۴). همچنین بر پایه این شاخص، ماه فروردین به عنوان مرطوب‌ترین ماه منطقه محسوب می‌شود. در نواحی جنوبی استان‌های اصفهان و بخش وسیعی از استان چهارمحال و بختیاری و همچنین مناطق شمالی استان قم به شدت خشکسالی‌ها در این ماه افزوده شده است. در این ماه میانگین شاخص SPI ۰/۶ است. براساس شکل (۴)، بخش‌هایی از پهنه‌های شمالی، شرقی و شمال غربی استان مرکزی و بخش وسیعی از استان اصفهان از شدت‌های ترسالی بالاتری برخوردارند.

۱- تغییر می‌کند. مقدار ۲ شدت رابطه خطی بین X و Y را نشان می‌دهد و علامت آن بیانگر جهت رابطه است. برای محاسبه ضریب همبستگی پیرسون در نرم‌افزار SPSS از معادله زیر استفاده می‌شود:

$$r = \frac{\sum_{i=1}^n (X_i - \bar{X})(Y_i - \bar{Y})}{\sqrt{\sum_{i=1}^n (X_i - \bar{X})^2 \sum_{i=1}^n (Y_i - \bar{Y})^2}}$$

که در آن، هر کدام از شاخص‌های پوشش گیاهی EVI و NDVI به عنوان متغیر مستقل X و شاخص خشکسالی هواشناسی SPI به عنوان متغیر وابسته Y مشخص شد.

## نتایج

### پایش خشکسالی با استفاده از داده‌های هواشناسی

برای بررسی خشکسالی‌های رخداده در استان‌های مورد مطالعه از آمار و اطلاعات هواشناسی این استان‌ها استفاده شد. به دلیل تعداد زیاد نمودارهای مربوط به هر ایستگاه، تنها نتایج مربوط به

جدول (۵): نتایج آزمون مقایسه میانگین و تحلیل واریانس نمایه SPI سری زمانی (۲۰۱۱-۲۰۲۰)

Table (4): The results of the average comparison test and variance analysis of the time series SPI index (2011-2020)

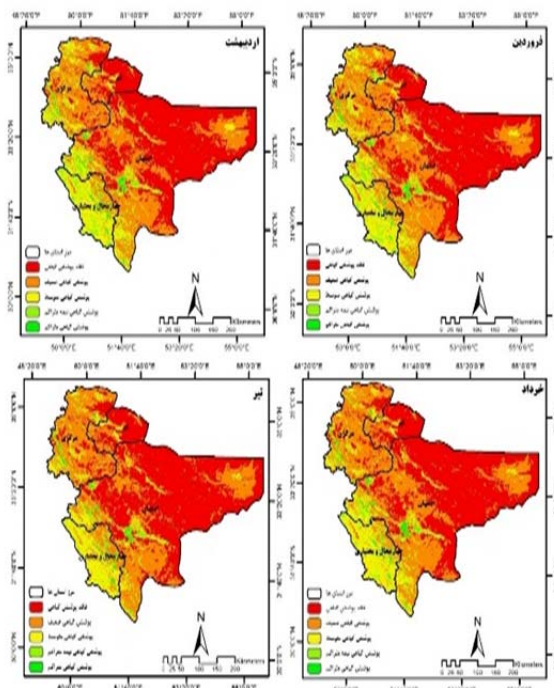
مقایسه میانگین		تحلیل واریانس		کل منطقه مورد مطالعه
t آماره	P-Value	t آماره	P-Value	
۰/۳۸۵	۰/۷۱۲	۰/۰۵۹	۰/۱۸۵	

پهنه‌بندی خشکسالی براساس شاخص SPI به صورت ماهانه

بررسی‌های به عمل آمده در خشکسالی‌های رخداده در ۲۹ ایستگاه هواشناسی در طول دوره آماری مورد مطالعه بیانگر موارد زیر است:

نتایج ارائه شده توسط شاخص SPI بیانگر رخداد خشکسالی شدید در منطقه در خردادماه است؛ به طوری که میانگین شاخص SPI در این ماه ۰/۵-۰/۲ است. بر این اساس

با توجه به نتایج بدست آمده از تصاویر طبقه‌بندی شده توسط شاخص EVI (شکل ۶)، بیشترین میزان مناطق فاقد پوشش گیاهی و مناطق دارای پوشش گیاهی ضعیف در کل دوره آماری ۲۰۱۱-۲۰۲۰ در ماه تیر بوده است؛ به‌طوری‌که میانگین شاخص مذکور در این ماه، ۰/۰۹ است. بر این اساس بخش‌های وسیعی از استان‌های اصفهان، قم و قسمت‌های مرکزی استان مرکزی از فقر پوشش گیاهی در این ماه برخوردار بوده‌اند. همچنین بر پایه این شاخص، ماه اردیبهشت از بیشترین میزان مناطق پوشش گیاهی متراکم و نیمه‌متراکم برخوردار بوده است. در این ماه میانگین شاخص EVI، ۰/۸ است. براساس شکل (۶)، بخش‌هایی از پهنه‌های غرب استان مرکزی و بخش وسیعی از استان چهارمحال و بختیاری و همچنین غرب استان اصفهان از تراکم پوشش گیاهی بالاتری برخوردارند.

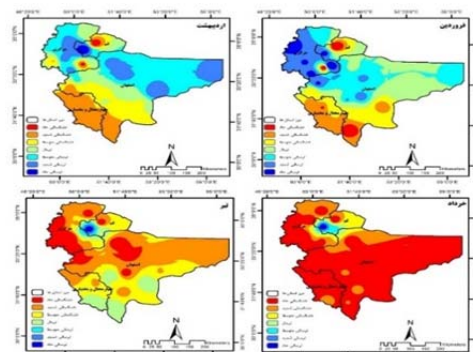


شکل (۶): نقشه طبقات پوشش گیاهی منطقه مورد مطالعه براساس شاخص EVI

Figure (6): Map of the vegetation classes of the study area based on the EVI index

پهنه‌بندی خشکسالی با استفاده از داده‌های زمینی به صورت سالانه

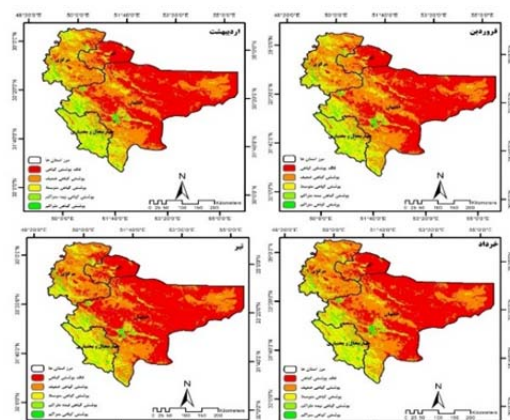
نتایج ارائه شده توسط شاخص SPI بیانگر رخداد خشکسالی شدید در منطقه در سال ۲۰۲۰ است؛ به‌طوری‌که میانگین



شکل (۴): نقشه پهنه‌بندی خشکسالی منطقه مورد مطالعه براساس شاخص SPI

Figure (4): Drought zoning map of the study area based on SPI index

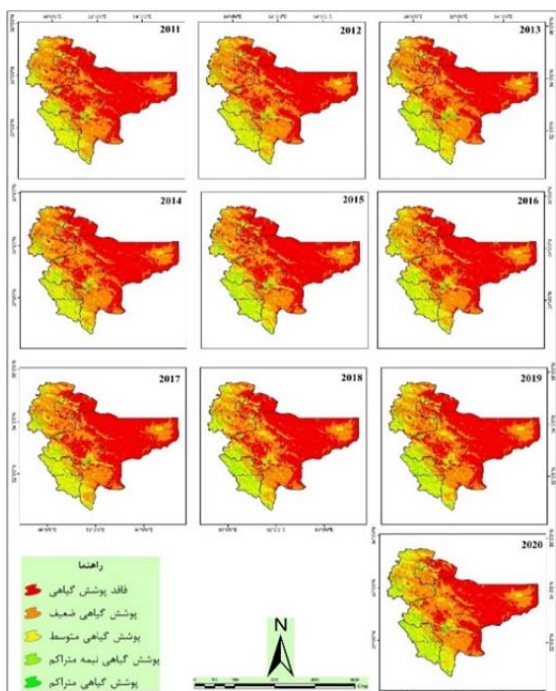
پهنه‌بندی شاخص‌های پوشش گیاهی به صورت ماهانه با توجه به نتایج بدست آمده از تصاویر طبقه‌بندی شده توسط شاخص NDVI (شکل ۵)، بیشترین میزان مناطق فاقد پوشش گیاهی و مناطق دارای پوشش گیاهی ضعیف در کل دوره آماری ۲۰۱۱-۲۰۲۰ در ماه خرداد بوده است؛ به‌طوری‌که میانگین شاخص مذکور در این ماه، ۰/۰۲ است. بر این اساس، بخش‌های وسیعی از استان‌های اصفهان، قم و مرکزی از فقر پوشش گیاهی در این ماه برخوردار بوده‌اند. همچنین بر پایه این شاخص، ماه فروردین از بیشترین میزان مناطق پوشش گیاهی متراکم و نیمه‌متراکم برخوردار بوده است. در این سال میانگین شاخص NDVI، ۰/۹۵ است. براساس شکل (۵)، بخش‌هایی از پهنه‌های غرب استان مرکزی و بخش وسیعی از استان چهارمحال و بختیاری و همچنین غرب استان اصفهان از تراکم پوشش گیاهی بالاتری برخوردارند.



شکل (۵): نقشه طبقات پوشش گیاهی منطقه مورد مطالعه براساس شاخص NDVI

Figure (5): Map of the vegetation classes of the study area based on the index

آماری ۲۰۱۱-۲۰۲۰ در سال ۲۰۲۰ بوده است؛ به طوری که میانگین شاخص مذکور در این سال، ۰/۰۸ است. بر این اساس، بخش‌های وسیعی از استان‌های اصفهان، قم و مرکزی از فقر پوشش گیاهی در این دوره برخوردار بوده‌اند. همچنین بر پایه این شاخص، سال ۲۰۱۱ از بیشترین میزان مناطق پوشش گیاهی متراکم و نیمه‌متراکم برخوردار بوده است. در این سال میانگین شاخص NDVI، ۰/۸ است. براساس شکل (۸)، بخش‌هایی از پهنه‌های غرب و جنوب غربی استان مرکزی و بخش وسیعی از استان چهارمحال و بختیاری از تراکم پوشش گیاهی بالاتری برخوردارند.

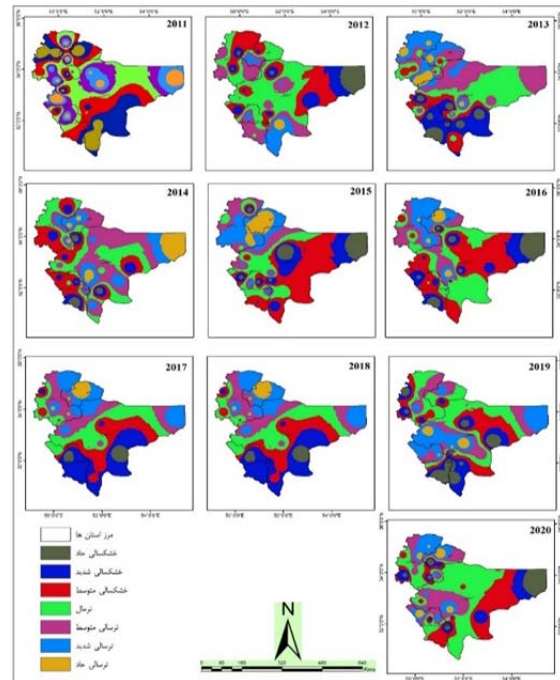


شکل (۸): نقشه تراکم پوشش گیاهی منطقه مورد مطالعه براساس  
شاخص NDVI

Figure (8): Vegetation density map of the study area based on NDVI index

با توجه به نتایج بدست آمده از تصاویر طبقه‌بندی شده توسط شاخص EVI (شکل ۹)، بیشترین میزان مناطق فاقد پوشش گیاهی و مناطق دارای پوشش گیاهی ضعیف در کل دوره آماری ۲۰۱۱-۲۰۲۰ در سال ۲۰۲۰ بوده است؛ به طوری که میانگین شاخص مذکور در این سال، ۰/۰۵ است. بر این اساس بخش‌های وسیعی از استان‌های اصفهان و قم از فقر پوشش گیاهی در این دوره برخوردار بوده‌اند. همچنین بر پایه این شاخص، سال ۲۰۱۸ از بیشترین میزان مناطق پوشش گیاهی

شاخص SPI در این سال، ۳/۲ است. بر این اساس، بخش‌های وسیعی از استان‌های اصفهان، چهارمحال و بختیاری و مرکزی با شدت‌های بالاتری از خشکسالی در این دوره برخوردار بوده‌اند، سپس در نواحی جنوب شرقی استان قم و بخش‌های شمال شرقی استان مرکزی از شدت خشکسالی آن‌ها نسبت به سایر مناطق کاسته می‌شود (شکل ۷). همچنین بر پایه این شاخص، سال ۲۰۱۱ به عنوان مرطوب‌ترین سال منطقه محسوب می‌شود. در این سال میانگین شاخص SPI، ۳/۱ است. براساس شکل (۷)، بخش‌هایی از پهنه‌های شمالی، شرقی و شمال غربی استان مرکزی و بخش وسیعی از استان اصفهان از شدت‌های ترسالی بالاتری برخوردارند. سپس در نواحی جنوبی استان‌های اصفهان و بخش وسیعی از استان چهارمحال و بختیاری و همچنین مناطق شمالی استان قم به شدت خشکسالی‌ها در این سال افروزده شده است.



شکل (۷): نقشه پهنه‌بندی خشکسالی منطقه مورد مطالعه براساس  
شاخص SPI

Figure (7): Drought zoning map of the study area based on SPI index

پهنه‌بندی شاخص‌های پوشش گیاهی به صورت سالانه با توجه به نتایج بدست آمده از تصاویر طبقه‌بندی شده توسط شاخص NDVI (شکل ۸)، بیشترین میزان مناطق فاقد پوشش گیاهی و مناطق دارای پوشش گیاهی ضعیف در کل دوره

بهترین همبستگی را میان SPI و NDVI برای آمریکا به دست آوردن. پرویز و همکاران (۲۰۱۲) نیز به این نتیجه رسیدند که شاخص‌های NDVI و NDWI نمی‌توانند بدون در نظر گرفتن تأخیر زمانی، شاخص‌های مناسبی برای پایش خشکسالی باشند.

**جدول (۶): ضریب همبستگی پیرسون بین مقادیر شاخص SPI و شاخص‌های پوشش گیاهی**

Table (6): Pearson's correlation coefficient between SPI index values and vegetation indices

EVI	NDVI	SPI	Correlation
-۰/۱۴۹	** ۰/۸۳۲	۱	SPI
-۰/۴۹	۱	** ۰/۸۳۲	NDVI
۱	-۰/۴۹	-۰/۱۴۹	EVI

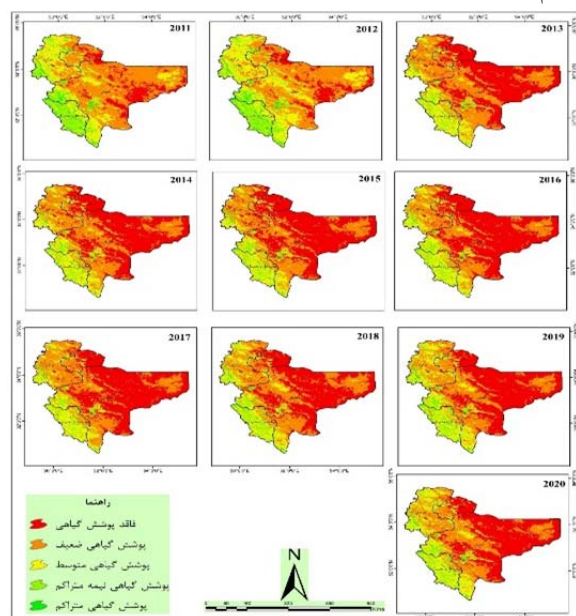
\*\* در سطح ۰/۰۱ معنادار است.

به طور کلی می‌توان گفت که مقادیر ضریب همبستگی شاخص NDVI با شاخص SPI در تمام طول دوره بیشتر از شاخص EVI است و این مسئله تأثیر بارش بر این شاخص را نشان می‌دهد. ضریب همبستگی مثبت شاخص هواشناسی SPI و شاخص NDVI، حاکی از این است که رشد پوشش گیاهی در استان‌های اصفهان، چهارمحال و بختیاری، مرکزی و قم نسبت به بارش حساسیت بیشتری دارد. بنابراین پارامترهای اقلیمی مؤثر بر شاخص NDVI نسبت به تغییرات اقلیمی از حساسیت قابل توجهی برخوردارند.

### تحلیل مکانی شاخص‌های پوشش گیاهی به صورت سالانه

با توجه نتایج به دست آمده براساس شاخص ماهواره‌ای NDVI بیشترین میزان مناطق فاقد پوشش گیاهی و پوشش ضعیف در کل دوره آماری ۲۰۱۱-۲۰۲۰ در سال ۲۰۲۰ بوده است؛ به طوری که مساحت این کلاس‌ها در مجموع به میزان ۸۱/۶ درصد از مساحت کل منطقه مورد مطالعه را فرا گرفته است. مساحت طبقه ۳ به عنوان مناطق دارای پوشش گیاهی متوسط به مقدار ۱۷/۰ درصد از مساحت کل استان‌ها را در سال ۲۰۱۲ اشغال کرده است. سال ۲۰۱۱ نیز کلاس‌های ۴ و ۵ به ترتیب به عنوان مناطق دارای پوشش گیاهی نیمه‌متراکم و متراکم در مجموع به میزان ۱۹/۹ درصد از مساحت کل منطقه مورد

متراکم و نیمه‌متراکم برخوردار بوده است. در این سال میانگین شاخص EVI ۰/۵ است. براساس شکل (۹)، بخش‌هایی از پهنه‌های غرب و جنوب غربی استان مرکزی و بخش وسیعی از استان چهارمحال و بختیاری و همچنین غرب استان اصفهان از تراکم پوشش گیاهی بالاتری برخوردارند.



شکل (۹): نقشه تراکم پوشش گیاهی منطقه مورد مطالعه براساس EVI شاخص

Figure (9): Vegetation density map of the study area based on the EVI index

### نتایج حاصل از همبستگی بین شاخص SPI و شاخص‌های پوشش گیاهی

در ادامه برای اطمینان از نتایج حاصل از شاخص‌های پوشش گیاهی، ضرایب همبستگی پیرسون بین شاخص‌های NDVI و EVI و شاخص هواشناسی SPI در حالت میانگین دوره‌ای و همچنین همبستگی میان شاخص‌های ماهواره‌ای، برای ایستگاه‌های مورد نظر محاسبه شد. در جدول (۶)، ضرایب همبستگی پیرسون میان شاخص‌های پوشش گیاهی و هواشناسی آورده شده است. نتایج همبستگی نشان داد که شاخص SPI در بین شاخص‌های پوشش گیاهی بالاترین همبستگی را با نمایه NDVI در سطح ۹۹ درصد دارد. همچنین همبستگی معناداری بین شاخص SPI و شاخص EVI در طول دوره مورد مطالعه وجود ندارد. جی و پیترز<sup>۱</sup> (۲۰۰۳) نیز

مطالعه را به خود اختصاص داده است. شکل (۱۰) نیز نمودار مساحت طبقات پوشش گیاهی را براساس شاخص NDVI نشان می‌دهد.



شکل (۱۰): نمودار مساحت طبقات پوشش گیاهی براساس شاخص NDVI  
Figure (10): Area diagram of vegetation classes based on NDVI index

درصد از مساحت کل استان‌ها را در سال ۲۰۱۲ اشغال کرده است. سال ۲۰۱۸ نیز طبقه ۵ به عنوان مناطق دارای پوشش گیاهی متراکم به میزان ۱/۸ درصد از مساحت کل منطقه مورد مطالعه را به خود اختصاص داده است. شکل (۱۱) نیز نمودار مساحت طبقات پوشش گیاهی را براساس شاخص EVI نشان می‌دهد.

با توجه به نتایج بدستآمده براساس شاخص ماهواره‌ای EVI بیشترین میزان مناطق فاقد پوشش گیاهی و پوشش ضعیف در کل دوره آماری ۲۰۱۱-۲۰۲۰ در سال ۲۰۱۸ بوده است؛ به طوری که مساحت این کلاس‌ها در مجموع به میزان ۷۱/۲ درصد از مساحت کل منطقه مورد مطالعه را فرا گرفته است. مساحت طبقات ۳ و ۴ به ترتیب به عنوان مناطق دارای پوشش گیاهی ضعیف و پوشش نیمه‌متراکم در مجموع با مقدار ۳۸/۸ گیاهی ضعیف و پوشش نیمه‌متراکم در مجموع با مقدار



شکل (۱۱): نمودار مساحت طبقات پوشش گیاهی براساس EVI  
Figure (11): Area chart of vegetation classes based on EVI

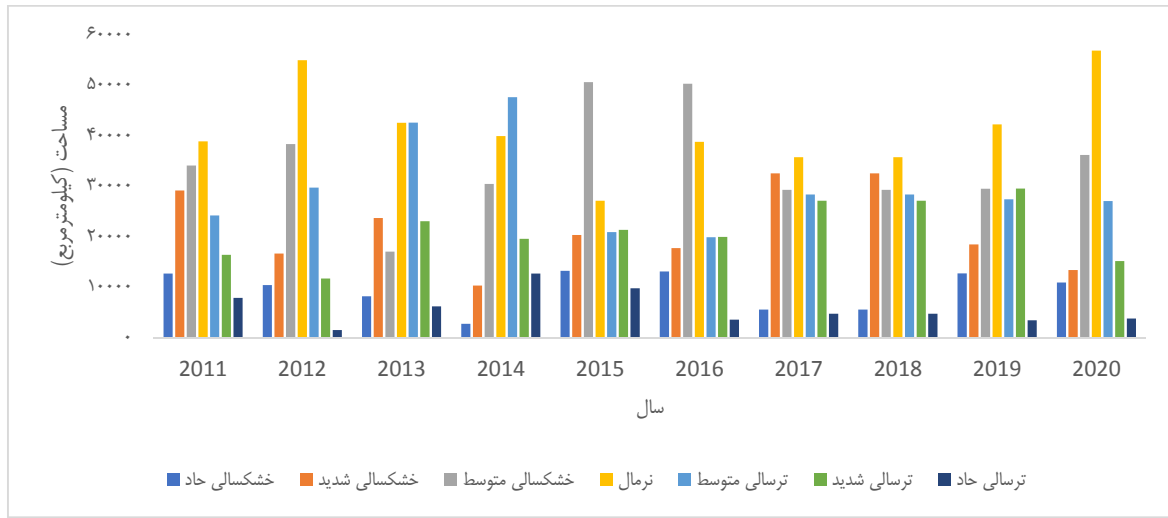
۲۰۱۵ نیز کلاس ۳ به عنوان مناطق دارای خشکسالی متوسط به میزان ۳۰/۹ درصد از مساحت کل منطقه مورد مطالعه را به خود اختصاص داده است. همچنین در سال ۲۰۲۰ طبقه نرمال به مقدار ۳۴/۷ درصد از مساحت کل منطقه مورد مطالعه را فرا گرفته است.

با توجه به اینکه میزان درصد مساحت شاخص هواشناسی SPI را در سال‌های ۲۰۱۱-۲۰۲۰ نشان می‌دهد، می‌توان مشاهده کرد که بیشترین درصد به میزان ۷/۷ درصد از مساحت

تحلیل مکانی شاخص‌های خشکسالی به صورت سالانه با توجه نتایج بدستآمده براساس شاخص هواشناسی SPI بیشترین میزان مناطق تحت پوشش خشکسالی حاد در کل دوره آماری ۲۰۱۱-۲۰۲۰ در سال ۲۰۱۵ بوده است؛ به طوری که مساحت این طبقه به میزان ۸/۱ درصد از مساحت کل منطقه مورد مطالعه را فرا گرفته است. مساحت طبقه ۲ به عنوان مناطق دارای خشکسالی شدید در مجموع ۳۹/۸ درصد از مساحت کل استان‌ها را در سال‌های ۲۰۱۷ و ۲۰۱۸ اشغال کرده است. سال

اختصاص داده است. در سال ۲۰۱۴ نیز کلاس ۵ که به عنوان کلاس ترسالی متوسط است، به میزان ۲۹/۱ درصد از کل منطقه مورد مطالعه را فرا گرفته است. شکل (۱۲) نیز نمودار مساحت طبقات خشکسالی را براساس شاخص SPI نشان می‌دهد.

کل منطقه برای کلاس ترسالی حاد در کل دوره آماری برای سال ۲۰۱۴ به ثبت رسیده است. طبق شاخص مذکور بیشترین میزان ترسالی شدید نیز مربوط به سال ۲۰۱۹ است که این سال به مقدار ۰/۱۸ درصد از کل مساحت منطقه را به این کلاس



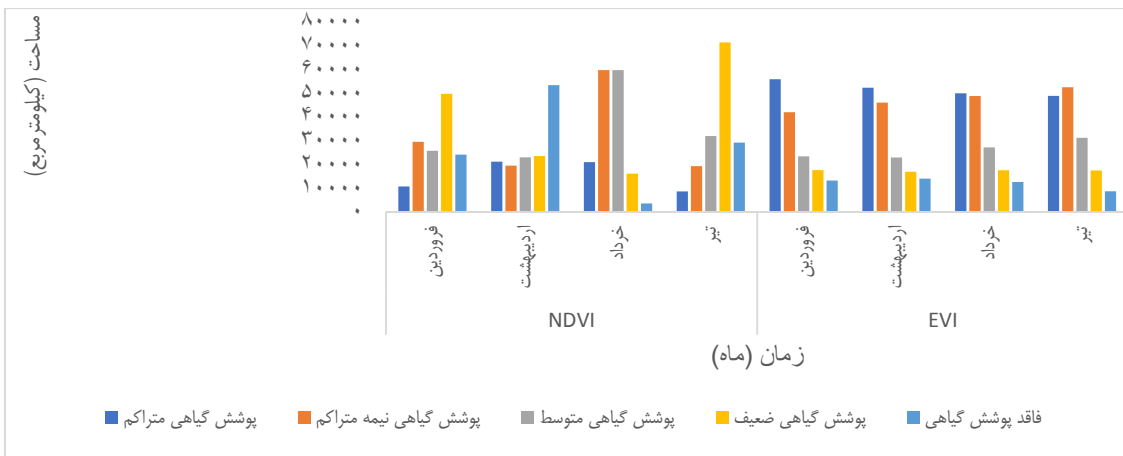
شکل (۱۲): نمودار مساحت طبقات خشکسالی براساس شاخص SPI

Figure (12): Area diagram of drought classes based on SPI index

(۷)، براساس شاخص پوشش گیاهی EVI بیشترین میزان مناطق فاقد پوشش گیاهی در کل دوره چهارماهه، در ماه اردیبهشت بوده است؛ به طوری که مساحت این طبقه به میزان ۱۴۰۱۶/۲ کیلومتر مربع از مساحت کل منطقه مورد مطالعه را فرا گرفته است. مساحت طبقه ۲ به عنوان مناطق دارای پوشش گیاهی ضعیف به مقدار ۱۷۶۰۲/۶ کیلومتر مربع از مساحت کل استانها را در ماه فروردین اشغال کرده است. ماه تیر نیز در طبقه ۳ به عنوان مناطق دارای پوشش گیاهی متوسط به میزان ۳۱۲۰۲/۵ کیلومتر مربع از مساحت کل منطقه مورد مطالعه را به خود اختصاص داده است. در ماه تیر نیز طبقه پوشش گیاهی نیمه‌متراکم به مقدار ۵۲۴۹۷/۴ کیلومتر مربع از مساحت کل منطقه مورد مطالعه را فرا گرفته است. همچنین طبق شاخص مذکور بیشترین میزان مناطق دارای پوشش گیاهی متراکم نیز مربوط به ماه فروردین است که این ماه به مقدار ۵۵۸۵۵/۰ کیلومتر مربع از کل مساحت منطقه را به این کلاس اختصاص داده است. شکل (۱۳) نیز نمودار مساحت طبقات مختلف پوشش گیاهی را براساس شاخص‌های NDVI و EVI نشان می‌دهد.

### تحلیل مکانی شاخص‌های پوشش گیاهی به صورت ماهانه

با توجه به نتایج به دست آمده براساس شاخص پوشش گیاهی NDVI بیشترین میزان مناطق فاقد پوشش گیاهی در کل دوره چهارماهه در ماه اردیبهشت بوده است؛ به طوری که مساحت این طبقه به میزان ۵۳۳۵۶/۲ کیلومتر مربع از مساحت کل منطقه مورد مطالعه را فرا گرفته است. مساحت طبقه ۲ به عنوان مناطق دارای پوشش گیاهی ضعیف به مقدار ۷۱۳۷۷/۷ کیلومتر مربع از مساحت کل استانها را در ماه تیر اشغال کرده است. ماه خرداد نیز در طبقه ۳ به عنوان مناطق دارای پوشش گیاهی متوسط به میزان ۵۹۷۱۹/۰ کیلومتر مربع از مساحت کل منطقه مورد مطالعه را به خود اختصاص داده است. در ماه خرداد نیز طبقه پوشش گیاهی نیمه‌متراکم به مقدار ۵۹۷۵۲/۰ کیلومتر مربع از مساحت کل منطقه مورده را فرا گرفته است. همچنین طبق شاخص مذکور، بیشترین میزان مناطق پوشش گیاهی متراکم نیز مربوط به ماه اردیبهشت است که این ماه به مقدار ۲۱۱۲۷/۱ کیلومتر مربع از کل مساحت منطقه را به این کلاس اختصاص داده است. با توجه به نتایج به دست آمده از جدول



شکل (۱۳): نمودار طبقات پوشش گیاهی با استفاده از شاخص‌های NDVI و EVI به صورت ماهانه

Figure (13): Diagram of vegetation classes using NDVI and EVI indices on a monthly basis

جدول (۷): مساحت طبقات پوشش گیاهی با استفاده از شاخص‌های NDVI و EVI به صورت ماهانه (کیلومترمربع)

Figure (13): Area of vegetation classes using NDVI and EVI indices on a monthly basis (square kilometers)

شاخص	ماه	پوشش گیاهی متر acum	پوشش گیاهی نیمه متراکم	پوشش گیاهی متوسط	پوشش گیاهی ضعیف	فاقد پوشش گیاهی
NDVI	فروردین	10719	29510	25738	49721	22147
	اردیبهشت	21127	19498	22991	22529	52356
	خرداد	20966	59752	59719	16119	2525
	تیر	8618	19286	31945	711377	29106
EVI	فروردین	55855	41958	22382	17602	13221
	اردیبهشت	52228	46063	22889	16899	14016
	خرداد	49926	48798	27177	17502	12602
	تیر	48847	52497	31202	17470	8691

حاصل از تصاویر مودیس در طی سال‌های ۲۰۱۱ تا ۲۰۲۰ به منظور پایش خشکسالی در مناطق مرکزی ایران است. با توجه به پژوهش انجام شده، بعد از محاسبه مقادیر شاخص‌ها و نیز تهیه نقشه‌های خشکسالی منطقه مورد مطالعه، به محاسبه همبستگی بین آن‌ها پرداخته شد. نتایج همبستگی نشان داد که شاخص SPI در بین شاخص‌های پوشش گیاهی بالاترین همبستگی را با نمایه NDVI در سطح ۹۹ درصد دارد. در مقابل، همبستگی معناداری بین شاخص SPI و شاخص EVI در طول دوره مطالعه وجود ندارد. ضریب همبستگی مثبت شاخص هواشناسی SPI و شاخص NDVI، حاکی از این است که رشد پوشش گیاهی در استان‌های اصفهان، چهارمحال و بختیاری، مرکزی و قم نسبت به بارش حساسیت بیشتری دارد. بنابراین پارامترهای اقلیمی مؤثر بر شاخص

## بحث و نتیجه‌گیری

شاخص‌های خشکسالی عناصر مهمی در پایش و برآورد خشکسالی هستند. شاخص‌ها فهم ارتباط اطلاعات را درباره بی‌نظمی‌های اقلیمی برای کاربران گوناگون آسان‌تر می‌کنند و به دانشمندان اجازه می‌دهند تا کمیت بی‌نظمی‌های اقلیمی را که در روابط شدت، مدت، فراوانی و گستر مکانی برآورد می‌شود، مطالعه کنند. در چند دهه اخیر با پیشرفت‌هایی که در تولیدات سنجش از دور ماهواره‌ای اتفاق افتاده، شاخص‌های مختلفی برای مطالعه پویایی پوشش گیاهی به خصوص برای ارزیابی اثرات خشکسالی‌ها ارائه شده است. از بین این شاخص‌ها، دو شاخص پوشش گیاهی NDVI و EVI بسیار مورد توجه محققان مختلف بوده است. هدف پژوهش حاضر بررسی میزان همبستگی بین شاخص SPI و شاخص‌های EVI و NDVI

ساخته شده دارای قابلیت لازم برای پایش خشکسالی است. پایش خشکسالی نقشی کلیدی در کاهش خسارات ناشی از آن دارد. کمبود استگاههای باران‌سنجدی و نقص داده‌های آماری همواره دقت ارزیابی خشکسالی هواشناسی را در مناطق فاقد آمار تحت تأثیر قرار می‌دهد. داده‌های بارش وضعیت خشکسالی را به دلیل توزیع زمانی و مکانی آن به خوبی نشان نمی‌دهند؛ لذا شاخص‌های خشکسالی هواشناسی بارش برای ارزیابی خشکی به تنها یک دقت چندانی ندارند، بلکه همراه با داده‌های ماهواره‌ای ارزیابی و دقت آن‌ها بیشتر شده و خشکسالی رخداده در منطقه را نیز برآورد می‌کنند.

با استفاده از شاخص‌های سنجش از دور می‌توان خشکسالی را از طریق آثاری که بر گیاهان و کشاورزی دارد، مطالعه کرد و درنتیجه به نتایج دقیق‌تر و مؤثرتری برای مدل‌سازی خشکسالی دست یافت. در تحلیل خشکسالی با استفاده از روش سنجش از دور، شاخص SPI با شاخص SPI NDVI همبستگی مثبت قوی دارد و با افزایش مقادیر SPI مقادیر شاخص NDVI نیز افزایش می‌یابد. در تحقیق حاضر، شاخص EVI دارای ضریب همبستگی منفی نسبت به شاخص NDVI بود. علت این امر می‌تواند به دلیل بازتاب بیش از حد خاک زمینه در منطقه مورد مطالعه باشد (جی و پیترز، ۲۰۰۳). شاخص‌های NDVI و EVI دارای پارامترهایی هستند که خشکسالی پس از وقوع با تأخیر زمانی روی آن‌ها تأثیر می‌گذارد و این مانع پایش لحظه‌ای خشکسالی می‌شود که به کمک شاخص خشکسالی هواشناسی SPI جران می‌شود. خصوصیات پوشش گیاهی، دوره زمانی مورد مطالعه، خصوصیات مربوط به خاک و چگونگی توزیع و شدت بارندگی عوامل مهمی هستند که بر وقوع بالاترین ضریب همبستگی میان شاخص NDVI و دوره تأخیری SPI است. شاخص‌های ماهواره‌ای از نظر تشخیص اندازه تغییر، همبستگی خوبی با یکدیگر دارند و همچنین بین شاخص‌های ماهواره‌ای با شاخص‌های زمینی بیشترین همبستگی مربوط به شاخص NDVI-SPI است؛ لذا شاخص NDVI را برای پایش خشکسالی هواشناسی به دلیل انطباق بیشتر می‌توان استفاده کرد. با توجه به اینکه تصاویر ماهواره‌ای نسبت به روش‌های

NDVI نسبت به تغییرات اقلیمی از حساسیت قابل توجهی برخوردارند. لیو و وو<sup>۱</sup> (۲۰۰۸) همبستگی میان SPI و NDVI را بررسی کردند و استفاده از SPI را توصیه کردند. کاکمو<sup>۲</sup> و همکاران (۲۰۱۱)، نیز به این نتیجه رسیدند که شاخص NDVI با SPI با تأخیر زمانی ۶ ماهه همبستگی بالاتری داشته‌اند. همچنین کمترین همبستگی‌ها در شاخص‌های NDWI و EVI بوده است. جی و پیترز (۲۰۰۴) نیز بهترین همبستگی را میان SPI و NDVI برای آمریکا به دست آورده‌اند. نتایج این مطالعه تأیید کننده وجود خشکسالی و ترسالی بهتری در سال‌های ۲۰۲۰ و ۲۰۱۱ است. این نتایج با توجه به شاخص SPI منطقه مورد مطالعه که نشان‌دهنده خشکسالی و ترسالی در سال‌های ۲۰۲۰ و ۲۰۱۱ می‌باشد، تأیید شده است. نتایج این تحقیق مشابه با نتایج سلطانی و همکاران (۲۰۱۹)، حمزی و همکاران (۲۰۱۷)، غفوریان (۲۰۱۴) بود که نشان دادند شاخص‌های سنجش از دوری دارای دقت مناسبی در پایش خشکسالی است. در پژوهشی که عزیزی و سفرداد در سال ۱۳۹۱ انجام دادند، با استفاده از نمایه اقیانوسی نینو، سال‌های النینو و لانینا را در دوره آماری ۲۰۱۶ تا ۲۰۲۰ براساس شدت طبقه‌بندی کردند که براساس این طبقه‌بندی سال ۲۰۱۶ به عنوان سال النینو و سال ۲۰۲۰ به عنوان سال لانینا معرفی شدند. همچنین در پژوهش خورشیددوست و همکاران (۱۳۸۶) نیز سال ۲۰۱۶ که هشتگی‌های فراگیر در جهان وجود داشته با فاز سرد پدیده انسو مطابقت داشته است. بنابراین علت رخداد خشکسالی در سال ۲۰۱۶ و ۲۰۲۰ در منطقه را می‌توان وقوع پدیده لانینا در سطح کره زمین در این سال‌ها دانست. نتایج پایش خشکسالی نشان داد که طی این دوره دهساله در برخی از سال‌ها خشکسالی شدید وجود داشته که در همان سال نیز بارش به میزان کمتری رخداده است. برای مثال در سال ۲۰۲۰ این خشکسالی بسیار شدید بوده است و در سال ۲۰۱۱ ترسالی بسیار شدیدی را نشان داد. نتایج حاصل از همبستگی بین شاخص SPI و شاخص‌های سنجش از دوری نشان داد که شاخص SPI بالاترین همبستگی را با شاخص NDVI در سطح ۰/۰ دارد که مشخص گردید تصاویر MODIS و شاخص

1. Liu & Wu  
2. Caccamo

به طور کلی می‌توان پیشنهاد کرد که در مناطقی با داده‌های باران‌سنگی ناکافی و پراکنش نامناسب برای پایش خشکسالی از داده‌های سنجش از دور و همچنین شاخص پوشش گیاهی NDVI برای پایش تغییرات پوشش گیاهی استفاده کرد.

هواشناسی نقطه‌ای (ایستگاه‌های ثبت بارش) دارای مزایایی همچون تعداد نقاط نمونه‌برداری بیشتر، سطح پوشش وسیع‌تر، قدرت تفکیک زمانی بالاتر و هزینه کمترند، استفاده از دانش سنجش از دور برای پایش خشکسالی پیشنهاد می‌شود.

## منابع

1. Alawi Panah, S.K. (2010). *Application of Remote Sensing in Earth Sciences (Soil Sciences)*. University of Tehran Press. Third Edition, 478 pages (in Persian).
2. Alawi panah, S.K. (2014). *Application of remote sensing in the earth sciences (soil)*. University of Tehran press. 4th edition, 479 Pages. (In Farsi).
3. Alizadeh, A. (2014). *Applied Hydrology*. Imam Reza University Press, thirty- eighth edition, 941 pages.
4. Azizi, Q., & Safarrad, T. (2012). Analysis of wind characteristics during ENSO phases, case study; 1997, 2008 and 2010. *Journal of Climatological Research*, 3(9), 82-70 (in Persian).
5. Caccamo, G., Chisholm, L.A., Bradstock, R.A., & Puotinen, M.L., (2011). Assessing the sensitivity of MODIS to monitor drought in high biomass ecosystems. *Remote Sensing of Environment*, 115: 2626-2639.
6. Ceccato, P., Flasse, S., Tarantola, S., Jacquemoud, S., & Gregoire, J. M. (2001). Detecting vegetation leaf water content using reflectance in the optical domain. *Remote Sensing of Environment*, 77, Pp. 22–33.
7. Chen, Z., Grasby, S.E., & Osadetz, K.G. (2004). Relation between climate variability and groundwater levels in the upper carbonate aquifer, southern Manitoba Canada. *Journal of Hydrology*, No. 290, 43–62.
8. Chopra, P. (2006). *Drought Risk Assessment using Remote sensing and GIS: A case study of Gujarat*. M. scthesis, ITC University
9. Dracup, J.A., Lee, K.S. J.R. & Paulson, E.G. (1980). On the definition of drought. *Water Resource Res*, 16(2), 297-302PP.
10. Dutta, D., Kundu, A., Patel, N.R., Saha, S.K., & Siddiqui, A.R., (2015). Assessment of agricultural drought in Rajasthan (India) using remote sensing derived Vegetation Condition Index (VCI) and Standardized Precipitation Index (SPI). *Egypt. J. Remote Sens. Sp. Sci.*, 18(1), 53–63; Elsevier.
11. Elhag, K., & Zhang, W., (2018). Monitoring and Assessment of Drought Focused on Its Impact on Sorghum Yield over Sudan by Using Meteorological Drought Indices for the Period 2001–2011. *Remote Sensing*, Vol 10 (8), 1231 p.
12. Fensholt, R., Langenke, T., Rasmussen, K., Reenberg, A., Prince, S.D., Tucker, C., Scholes, R.J., Le, Q.B., Bondeau, A., Eastman, R., Epstein,
- H., Gaughan, A.E., Hellden, U., Mbow, C., Olsson, L., Paruelo, J., Schweitzer, Ch., Seaquist, J., & Wessels, K. (2012). Greenness in semi-arid areas across the globe 1981- 2007- an Earth Observing Satellite based analysis of trends and drivers. *Remote Sensing of Environment*, 121: 144-158.
13. Fiorillo, F., & Guadagno, F.M. (2010). Karst spring discharges analysis in relation to drought periods, using the SPI. *Water Resources Management*, 24(9): 1867-1884.
14. Ghafourian, H., Sanaeinejad, S.H., & Davari, K., (2014). Study to determine suitable areas for drought monitoring using TRMM satellite data (Case study: Khorasan Razavi province (water and soil)). *Agricultural Sciences and Industries* (3). 639-648 (in Persian).
15. Ghanar, A. (2001). *Drought Assessment Using NOAA Images in East Azerbaijan, West Azerbaijan and Ardabil Province*. Tarbiat Modares University Master Thesis. 89 p (in Persian).
16. Hamzeh, S., Farahani, Z., Mahdavi, S., Chatar Abgon, O., & Golam Niah, M. (2017). Temporal and Spatial Monitoring of Agricultural Drought Using Remote Sensing Data, Case Study: Markazi Province of Iran. *Journal of Spatial Analysis of Environmental Hazards*, 4(3), 70-53 (in Persian).
17. Hodel, E. (2012). *Analysing Land Cover Change in Mongolia Using Terra MODIS Satellite Data superviso Hans Hurni*, Masterarbeit der Philosophisch. Universität Bern.
18. Ji, L., & Peters, A.J. (2003). Assessing vegetation response to drought in the northern Great Plains using vegetation and drought indices. *Remote Sensing of Environment*, 87, 85-98pp.
19. Ji, L., & Peters, A.J. (2004). A Spatial Regression Procedure for Evaluating the Relationship between AVHRR-NDVI and Climate in the Northern Great Plains. *Int. J. Remote Sensing*, 25, 297-311.
20. Khodaei, M., Shad, R., Maghsoudi Mehrani, Y., & Ghaemi, M. (2016). *Determining an optimal index of several remote sensing sensors in order to improve the real-time drought monitoring process in areas with heterogeneous land cover*. *Echo Hydrology*, Volume 3, Number 3, Tehran. (in Persian)

21. khoosh Akhlaq, F., Ranjbar, F., Toulabi, S., Moqbel, M., & Mamasoompour Asmakoush, J. (2010). Study of Drought in the Water Year 2007-2008 and Its Effects on Agricultural Water Resources (Case Study: Marvdasht County). *Journal of Geography*, No. 24, 136-119 (in Persian)
22. Kogan, F.N. (2000). Global drought detection and impact: Assessment from apace, In Wilhite Editor *Drought a Global Assessment*, 1, 197-206.
23. Li, B., Tang, H., & Chen, D. (2009). Drought Monitoring Using the Modified Temperature/Vegetation Dryness Index, 2nd International Congress on Image and Signal Processing, 17-19 October, China.
24. Liu, C. L., & Wu, J.J. (2008). Crop drought monitoring using MODIS NDVI over Mid-Territory of China, *International Geosciense and Remote Sensing Symposium*.
25. Mahmoudzadeh, A.H., Saghafian, B., & Mokhtari, A. (2008). Correlation between Drought Index SPI and NDVI Index of Fereydunshahr Region, *Third Water Resources Management Conference*. University of Tabriz. Faculty of Civil Engineering. 8 pages (in Persian).
26. Parviz, L., Khayyat Khalqi, M., Valizadeh, K., Iraqi Nejad, S., & Irannejad, P. (2012). Evaluation of the efficiency of indicators resulting from remote sensing technology in assessing meteorological drought; Case Study: Sefidrood Watershed, *Geography and Development Quarterly*, May 2011, 9(22), 147 -164 (in Persian).
27. Pei, F., Li, X., Liu, X., & Lao, C. (2013). Assessing the impacts of droughts on net primary productivity in China. *Journal of Environmental Management*, 114, 362-371.
28. Rostami, A., Bzane, M., & Raini, M. (2016). Spatial and temporal monitoring of agricultural drought using Modis imagery and remote sensing technology. *Journal of Soil and Water Science*, 27, 213-226 (in Persian).
29. Roswintiarti, O., Oarwati, S., & Anggraini, N. (2010). Potential Drought Monitoring over Agriculture Area in Java Island, Indonesia, *Indonesian National Institute of Aeronautics and Space (LAPAN)*, Progress Report of SAFE Prototype Year.
30. Soltani, M., Soltani, A., Kalhehui, M., & Soleimani, K. (2019). Regional Drought Monitoring Using Landsat Images, Study Area: Kermanshah County. *Geographical Information Quarterly (Sepehr)*, 28(109), 138-146 (in Persian).
31. Tabari, H., Abghari, H., & Hosseinzadeh Talaee, P. (2012). Temporal trends and spatial characteristics of drought and rainfall in arid and semiarid regions of Iran. *Hydrol. Process*, 26 (22), 3351–3361; Wiley Online Library.
32. Yiar, Mohammadi, P. (2005). The Necessity of combing Geographic Information Systems and Remote Sensing in Drought Monitoring, *Scientific Journal of Drought and Drought*, No. 18 (in Persian).
33. Yildirim, T., & Aşik, Ş. (2018). Index-based Assessment of Agricultural Drought using Remote Sensing in the Semi-arid Region of Western Turkey. *Journal of Agricultural Sciences*, 24, 510-516.
34. Zambrano, F., Lillo-Saavedra, M., Verbist, K., & Lagos, O. (2016). Sixteen Years of Agricultural Drought Assessment of the BíoBío Region in Chile Using a 250 m Resolution Vegetation Condition Index (VCI). *Remote Sensing*, 8, 530, 1-20.

## Evaluating the Efficiency of Vegetation Indices in Analyzing Drought Using MODIS Images: A Case Study Qom, Isfahan, Chaharmahal Bakhtiari, and Markazi Provinces

Saleh Arekhi,<sup>1\*</sup> Marzieh Barzegar Savasari,<sup>2</sup> Neda Sorizaie,<sup>3</sup> Bangamin Eshghi<sup>4</sup>

Received: 10/03/2024

Accepted: 08/09/2024

### Extended Abstract

**Introduction:** As a natural disaster, drought may occur in any climate. In recent decades, widespread severe droughts have continuously affected Iran, imposing detrimental effects on the country's various economic sectors, including agriculture, environment, and water resources. Today, vegetation indices obtained from remote sensing are widely used to identify and analyze meteorological droughts. Remote sensing technology enables near-real-time monitoring of drought conditions by analyzing high-resolution spectral data, allowing for pixel-level calculations over large geographic areas. The Iranian provinces of Qom, Isfahan, Chaharmahal Bakhtiari, and Markazi are among those regions whose drought conditions have frequently been warned about within the last few years. Therefore, as the study of drought in these four provinces bears special significance due to the sensitivity of the provinces and the large population they accommodate, the current research selected the provinces as its study areas.

**Material and methods:** this study set out to investigate the correlation between SPI, NDVI, and EVI that were obtained from MODIS images from 2011 to 2020, seeking to monitor drought in central regions of Iran. To this end, changes made over a period of 10 years were identified using the images of the Modis satellite sensor and the precipitation data collected from the synoptic stations located in the study area. In this regard, four months (April, May, June, and July) were selected as sample periods by reviewing the data collected from the existing stations using the standardized precipitation index (SPI) model. This study selected MODIS Terra MOD13A2 imagery from 2011 to 2020 due to its high temporal resolution, broad spectral coverage, ease of access, and the absence of atmospheric and geometric correction requirements. This dataset was chosen to ensure the capture of both wet and dry periods. Subsequently, the Standardized Precipitation Index (SPI) was compared with the Normalized Difference Vegetation Index (NDVI) and Enhanced Vegetation Index (EVI). Moreover, the Pearson correlation coefficient was used to determine the correlation between the SPI meteorological drought index and remote sensing indices.

**Results:** According to the study's results, the correlation between SPI NDVI and EVI was found to be 0.832 and -0.149, respectively. In general, the results indicated that in areas with insufficient precipitation data and poor distribution of drought monitoring, remote sensing, and NDVI data can be used to monitor vegetation changes. Moreover, the results of drought monitoring revealed that during the ten-year study period, severe droughts occurred in some years. For instance, severe drought and extremely wet periods occurred in 2020 and 2011, respectively. On the other hand, the results of the correlation between SPI and remote sensing indices suggested that SPI had the highest correlation with NDVI at the level of 0.01. The results of this study can effectively contribute to the decisions made by decision-makers in monitoring, investigating, and resolving drought conditions.

1. Associated Professor, Department of Geography, Faculty of Human Sciences, Golestan University, Gorgan, Iran, Email: S.arekhi@gu.ac.ir

2. MS.c Student, Faculty of Human Sciences, Golestan University, Gorgan, Iran

3 . MS.c Student, Faculty of Human Sciences, Golestan University, Gorgan, Iran

4. MS.c Student, Geographic information system, Mapping Department, non-profit Lampi Gorgani Institute, Gorgan, Iran

**Discussion and conclusion:** Vegetation characteristics, the studied time period, soil characteristics, and the distribution and intensity of precipitation are important factors involved in the establishment of the highest correlation coefficient between the NDVI and the SPI during the delay period. Satellite indices show a remarkable correlation with each other in terms of detecting the magnitude of change, and the highest correlation between satellite indices and terrestrial indices is found in the NDVI-SPI pair. Therefore, the NDVI is used to monitor meteorological drought. Compared to point meteorological methods (precipitation recording stations), satellite images offer greater advantages, including the number of sampling points, wider coverage area, higher time resolution, and lower cost. Therefore, remote sensing knowledge is suggested for drought monitoring. Generally, remote sensing data and NDVI are suggested as appropriate indices to be used for monitoring vegetation changes in areas with insufficient rain gauge data and inappropriate distribution of drought monitoring.

**Keywords:** Drought, SPI, Vegetation Indices, NDVI and EVI, Central Regions of Iran.